Серия технических маук

ЭЛЕКТРОТЕХНИКА

г в. барегамян

АЛГОРИТМ УПРАВЛЕНИЯ НПЧ С ОПТИМАЛЬНЫМ ВЫБОРОМ МОМЕНТОВ РЕВЕРСА ТОКА

В преобразователе частоты с пеносредственной снилью (НПЧ) и иниротно-импульсной модуляцией (ШИМ) по схеме рис. 1а изменение полярности тока (реверс) сопровождается появлением бестоковых пауз, и течении которых все тиристоры закрыты. На три интеразлах преобразователь становится «неуправляемым» и ход изменения выходного напряжения полностью определяется фильтром и нагрузкой. Бестоковые наузы, количество и длительности которых зависят от параметров силовой схемы, нагрузки, алгоритма управления и др., оказывают существенное влияние на качество вырабатываемого синусондального напряжения. Ниже рассматривается алгоритм управления, и котором для оптимизации моментов выхода из осстоковых пауз используется вычисляемый прогноз.

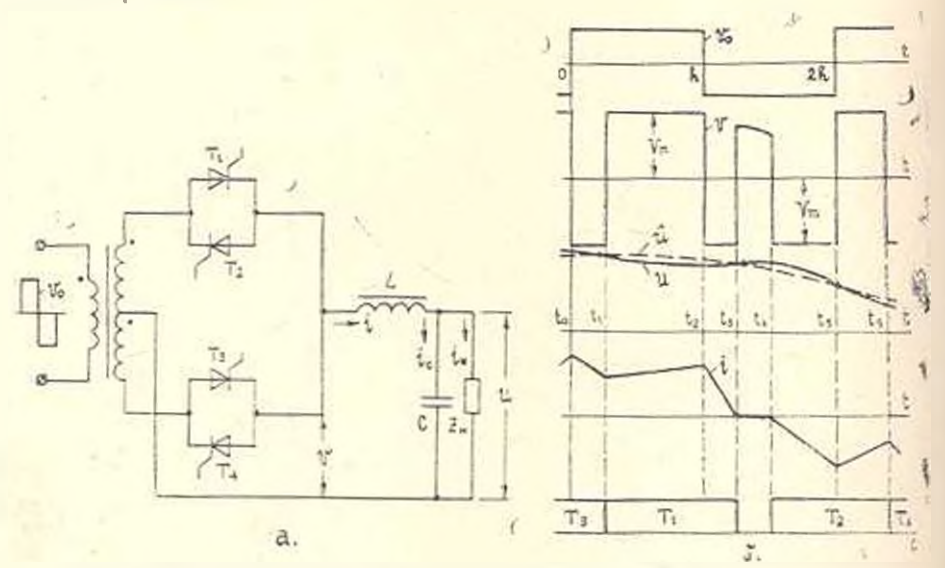


Рис. 1 Однофазный НПЧ с маходным LC-фильтром; п) схема преобрапователя; б) пременные диаграммы при прямоугольном питаницем напряжении подносторонней дауполярной ПИМ

В рассматриваемом преобразователе при прямоугольном питающем напряжении возможно реализовать двуполярную НИМ (рис. 1,6) пу-

тем переключения тиристорных групп Т., Т. и Т., Т. в функции полярноети тока НПЧ г. Сформированный на входе LC фильтра ШИМ сигнал содержит участки, на которых кривая повторяет форму выходного напряжения. Эти участки соответствуют бестоковым наузам, наступающим при каждом переходе тока ИПЧ через иуль. В ехеме осуществляются переключения двух типов — неуправляемые и управлясмые, Неуправляемые переключения имеют место в моменты дискретвзации 0, h, 2h, ..., r, e, когда $i \neq 0$ и интающее НПЧ папряжение скачкообразно меняет полярность. При этом рансе проводящий гиристор остается открытым, хотя и попадает под обратное напряжение. Для его запирания необходимо либо отперсть второй тиристор той же группы. либо подождать, пока ток спадет до нуля. В первом случае произойдет управляемое переключение, а во втором наступит бестоховая науза. Выход из бестоковой паузы производится включением соответствующего тиристора. Таким образом, управляемыми являются моменты включения и переключения имиульсов, не совладающие с моментами дрекретизации. Однако, как будет показано, в каждом такте требуется подавать управление на один тиристор.

Обозначим далсе полярность IIIIAM импульса в начале такта логической переменной $Z(Z(\cdot)-1;1')$, моменты начала и конца такта $-t_0$ и t_0 , моменты включения и переключения импульса $-t_0$ и t_0 . Локальное время и такте t отсчитывается от начала каждого такта. К примеру, на рис. 16 неуправляемые переключения осуществляются и моменты t_0 , t_0 и t_0 , управляемые переключения $-t_1$ и t_0 , включение импульса (реверсирование тока) $-t_0$.

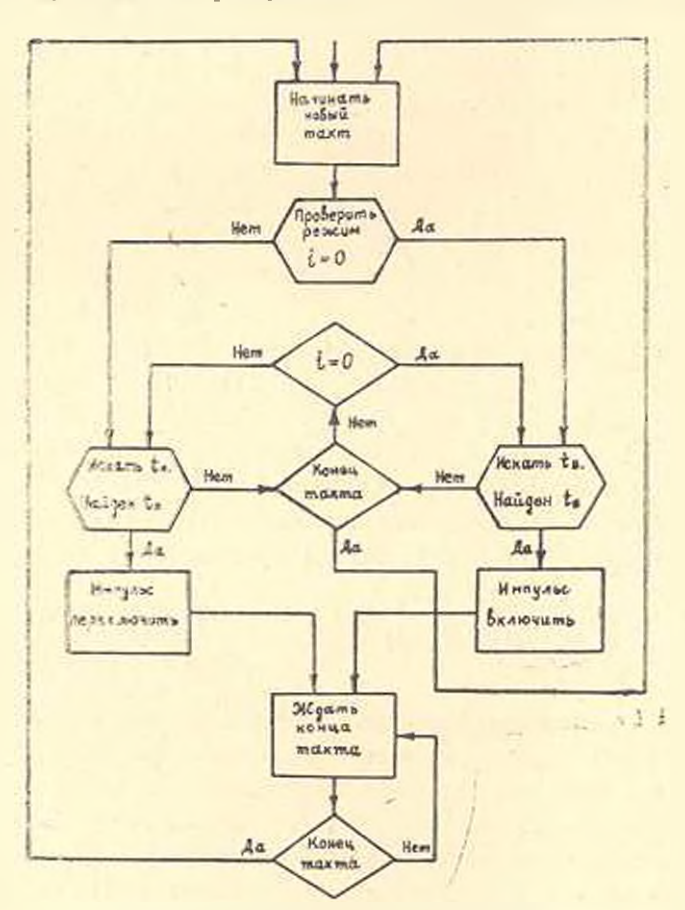
Вследствие неуправляемых переключений полярности тока $\bar{\imath}$ и ШИМ — импульса в момент ℓ_n всегда противоположны, $\bar{\imath}$, е.

$$Z = - sign[i(t_n)] = \begin{cases} -1, & \text{если } i(t_n) > 0, \\ 1, & \text{если } i(t_n) < 0, \end{cases}$$
 (1)

и ток убывает по модулю, начиная от начала такта. Следовательно, бестоковая пауза может наступить только до очередного управляемого переключения, если оно задерживается. После управляемого переключения ток всегда растет по модулю и бестоковой паузы быть не может. Если бестоковая пауза наступила и затем включается импульс, то на остатке такта $t_{\bullet} = t_{\bullet}$ переключения невозможны. Таким образом, в обоих случаях отпирается лишь один тиристор.

На рис. 2 приведена блок-схема предлагаемого алгоритма управления. При управляемом переключении отпирается тиристор T_1 , если $v_0>0$ и Z=1; T_2 , если $v_0<0$ и Z=1; T_3 , если $v_0<0$ и Z=1; T_4 , если $v_0<0$ и Z=1. При включении импульса отпирается тиристор T_1 , если $v_0>0$ и Z=1; T_2 , если $v_0<0$ и Z=-1; T_3 , если $v_0<0$ и Z=-1; T_4 , если $v_0>0$ и Z=-1. На остатке такта t_0-t_1 (либо t_0-t_2) инкаких переключений ис производятся и система управления выжидает конца такта. В случае исобнаружения мо-

мента t или t поиск продолжается в следующем такте. Моменты переключения можно определить, исходя из различных критериев оптимизации кривой формируемого синусондального напряжения. Например, в [1] требуется пересечение кривых выходного напряженя u(t) и сигнала задания u(t) в одной точке каждого такта. Тогда при достаточно высокой несущей частоте форма выходного ка пряжения будет близка к заданной. Для определения моментоя t_0 заесь предлагается также исходить из указанного критерия качества и использовать вычисляемый прогном [1, 2]. Сущность заключается в том, что момент



Рас. 2. блок-ехема алгоритма управления НПЧ.

пк ючения ПННМ-импульса и его полярность определяются путем прогназирования выходного напряжения преобразователя на некоторое время β вперед ($\beta=k-t$). При этом используется понятие условного прогноза рассогласования выходного напряжения от задания

$$s(t, h) = u(t, h) - u(t, h),$$
 (2)

вычисляемого в предположении, что импульс включается в текущий момент (в этом и состоит его условность). В (2) u(t, h) и u(t, h) —

прогнозируемые значения вымодного напряжения и сигнала задания в точке t=h, вычисленные в текущий момент времени t. Предположим, что система управления содержит епециальный блок, который по заранее извествым формулам непрерывно вычисляет два прогноза ε (t, h +) и ε (t, h, —), соответствующих случаям включения положительного и отрицательного импульсов. Одян из них монотонно убывает по модулю. Если следить за убывающей кривой и в момент се прохождения через пуль включить импулье соответствующей полярности, то в прогнозируемой точке t=h выходное напряжение совпадает с заданием, τ , e, u(h)=u(h).

Формулы прогноза, выражающие зависимости ε (t,h,+) и $\varepsilon(t,h,-)$ от техущих значений переменных состояния и сигнала задания, получаются из уравнений фильтра. Прогнозы u (t,h,+) и $\varepsilon(t,h,-)$ складываются из трех частей. Первая часть обусловлена собственными инчальными условиями, г. с. значениями переменных u и i в текуший момент и для LC-фильтра имеет вид

$$u_1 = u(t)\cos \omega \beta + \varphi i(t)\sin \omega \beta, \tag{3}$$

где $p = \sqrt{\frac{T}{C}}$, $w = \frac{1}{VAC}$ — волновое сопротивление и резонансная частота фильтра соответствение. Вторая часть вызвана влиянием

ная частота фильтра соответственно. Вторая часть вызвана влиянием нагрузки. Представим нагрузку упрощенно источником тока і ... значення которого на прогнозируемом интервале линейно экстраполирован г:

$$i_{s}(\tau) \approx i_{n}(t) + \tau i_{s}'(t); \qquad (4)$$

Тогда для второго слагающего получим:

$$u_2 = -\rho \iota_n \sin \omega \beta - (1 - \cos \omega^2) \frac{1}{\iota \iota (u t)} \cdot \tag{5}$$

Третье слагаемое обусловлено действием подаваемого на вход фильтра импульса и в зависимости от его полярности меняет знак

$$u_3 = -V_m (1 - \cos \omega \beta). \tag{6}$$

С учетом (3), (5) и (6) для прогнозов $\varepsilon(t, h, +)$ и $\varepsilon(t, h, -)$ получим:

$$\begin{aligned} \varepsilon(t, h, +) &= \varepsilon(t, h, 0) + V_m (1 - \cos \omega \beta); \\ \varepsilon(t, h, -) &= \varepsilon(t, h, 0) - V_m (1 - \cos \omega \beta); \\ \varepsilon(t, h, 0) &= u(t) \cos \omega \beta + u(t) \sin \omega \beta - \\ -(1 - \cos \omega \beta) \frac{d(\mu_m)}{d(\omega t)} - u(t, h), \end{aligned}$$

$$(7)$$

где ж (t. h) может быть экстранолировано с любой заданной точностью. Блок вычисления прогноза строится на основе соотношений (7). Его можно построить так, чтобы вычислять один прогноз и одну функцию. Так, если $\epsilon(t, h, 0)$ положительна, то убывающей является $\epsilon(t, h, -)$, в противном случае — $\epsilon(t, h, -)$.

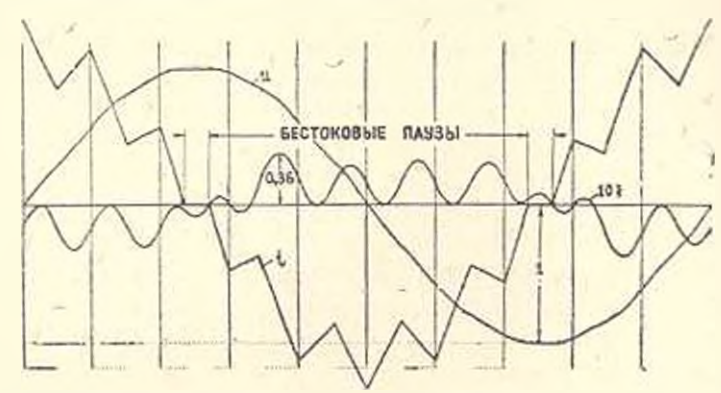


Рис. 3. Оскиллограмма процессов в преобразователе при холостом ходе:
и — выходное напряжение;
и — тох дросселя фильт
ходного напряжения.

Описанный вычислительный алгоритм успешно сочетается со способом управления по вычисляемому прогнозу, описанному в [1]. При этом вычисления моментов включения и переключения ШИМ импульсов можно выполнить одним блоком, что упрощает систему управления. Для иллюстрации на рис. З представлена осциллограмма процессов в преобразователе, работающем по этому принципу. Остиллограмма получена на цифровой модели преобразователя при соотношения

выходной, резонансной и несущей частот 0.1:0.1:1. $V_m U_m = 1, 2, -x_L = \Omega L = 0.9 Z_{\rm H max}$. При этом коэффициент несинусоидальности выходно напряжения составляет 1.63%. Как следует из рис. 3, при выбранных параметрах возникает лишь одна бестоковая пауза на полупериоде, оказывающая практически незаметное влияние на выходное синусондальное напряжение.

ЕрПИ вы, К. Маркса

25, X, 1984

Գ. Վ. ՔԱՐԵՂԱՄՅԱՆ

ՀՈՍԱՆՔԻ ԳԱՐՉԱՓՈԽՄԱՆ ՕՊՏԻՄԱԼ ԸՆՏՐՈՒԹՑԱՄՔ ՀԱՓ-Ի ԿԱՌԱՎԱՐՄԱՆ ԱԼԳՈՐԻԹՄ

Ամփոփում

Դիտարկվում է հաճախության միաֆուզ-միաֆաղ տիրիստորային անմիջական կտորով փոխարկիչի (ՀԱՓ) կառավարման ալգորիքիմ, որը ունի հարքեցնող I.C-ֆիլար, որում ելբային սինուսոիցալ լարումը ձևավորում է լայնա-իմպուլսային մողուլյացիայի շնորհիվ։ Հոսանթի դագարների օպտիմալ տևողուքյունների որոշման Համար առաջարկվում է հաշվման ալգորիքմ՝ հիմնված որոշակի ժամանակահատվածում ելջային լարման կորի հետագա ընքացրի կանխագուշակման արտահայտուքյունները և կառավարման այգորիքմի բյուրսեման։

ЛИТЕРАТУРА

- Конален Ф. И., Мистафи Г. М., Барегимин Г. В. Управление по выписляемому пропносу выпульства преобразователем с синусоманлымым выходным напряжением.—Электротекцика, 1981. № 11, с. 13—17.
- А 6. 880186 (СОСР). Способ управлечия преобразователем с аввритно-импульений водумення /Г. М. Мустафа, Г. В. Барегамии. Опубл. в 841, 1981, № 11.